

## Влияние температуры на энергетические и частотные характеристики диодов Ганна мм-диапазона с гетерокатодом

Ю.В. Аркуша, Э.Д. Прохоров, И.П. Стороженко

Харьковский государственный университет  
310077, Украина, Харьков, пл. Свободы, 4

Статья поступила в редакцию 10 июня 1997 г.

Исследовано влияние температуры кристаллической решетки на физические процессы в диодах Ганна на основе  $GaAs$  с длиной активной области 1 мкм и различными гетерокатодными контактами ( $In_xGa_{1-x}As$  и  $Al_xGa_{1-x}As$ ). Для широкого диапазона температур получены энергетические и частотные характеристики. Показано, что диоды с гетерокатодом могут эффективно работать в мм-диапазоне длин волн в непрерывном режиме. Найдены предельные температуры, при которых диоды перестают работать и которые составили для  $GaAs$ -диода с  $In_{0,45}Ga_{0,55}As$ -катодом ~780 К и с  $Al_{0,15}Ga_{0,85}As$ -катодом ~510 К.

Досліджено вплив температури кристалічної гратки на фізичні процеси в діодах Ганна на основі  $GaAs$  з довжиною активної області 1 мкм та різними гетерокатодними контактами ( $In_xGa_{1-x}As$  і  $Al_xGa_{1-x}As$ ). Для широкого діапазону температур отримано енергетичні та частотні характеристики. Показано, що діоди з гетерокатодом можуть ефективно працювати у мм-діапазоні довжин хвиль в безперервному режимі. Знайдено граничні температури, при яких діоди перестають працювати і котрі становлять для  $GaAs$ -діода з  $In_{0,45}Ga_{0,55}As$ -катодом ~780 К і з  $Al_{0,15}Ga_{0,85}As$ -катодом ~510 К.

### Введение

На выходные характеристики радиоэлектронных устройств большое влияние оказывает температура ( $T$ ). Характеристики твердотельных активных элементов, выполненных на различных полупроводниковых материалах, как правило, значительно ухудшаются с увеличением температуры. Этому способствует и их неизбежный саморазогрев.

Один из известных активных элементов, широко используемый для генерации и усиления в см- и мм-диапазонах длин волн - диод Ганна. Для диодов мм-диапазона большое значение имеет тип катодного контакта, который во многом определяет физические процессы и выходные характеристики самого диода. К диодам Ганна применяют различные катодные контакты: омический ( $n^+ - n$ ) [1], с высокоомной неоднородностью ( $n^+ - n^- - n$ ) [1], двухзонный ( $n^+ - n^- - n^+ - n$ ) [2], запорный контакт металл-полупроводник ( $m-n$ ) [3], антизапорный контакт металл-полупроводник [4], запорный гетеропереход [5], антизапорный гетеропереход [6].

Значительный интерес представляют диоды с гетеропереходом на катодном контакте. По эффективности генерации и частотному диапазону такие диоды превосходят диоды с металлическим и омическим катодными контактами, а в некоторых диапазонах частот - диоды с высокоомной

неоднородностью у катода и с двухзонным катодом [5-7].

Исследования [5-7] были проведены при температуре кристаллической решетки 300 К, т.е. в импульсном режиме работы генератора. Вопрос о влиянии температуры на работу диода с гетерокатодом является актуальным как с точки зрения практической реализации, так и теоретического анализа генерационных свойств диодов Ганна при высоких температурах.

К сожалению, экспериментальных работ, посвященных исследованию влияния температуры на работу диодов Ганна с гетерокатодом практически нет. В работе [8] было экспериментально установлено увеличение термостабильности  $GaAs$ -диодов с  $Al_xGa_{1-x}As$ -катодом по сравнению с диодами с омическим катодным контактом.

В настоящей работе для широкого диапазона температур были проведены исследования энергетических и частотных характеристик, а также физических процессов в диодах Ганна на основе  $GaAs$  с различными полупроводниковыми соединениями в катоде.

### 1. Методика исследования и электрофизические параметры диода

Для расчета характеристик диодных структур с гетерокатодом можно использовать двухтемпературную модель [1], расширенную на случай гете-

роперехода. Система уравнений двухтемпературной модели имеет следующий вид:

$$\frac{\partial n_i}{\partial t} + \frac{1}{q} \frac{\partial J_i}{\partial x} = -n_i A_i(T_i) + n_j A_j(T_j), \quad (1)$$

$$J_i = q n_i \mu_i (E - E_0) - k \mu_i \frac{\partial (n_i T_i)}{\partial x}, \quad (2)$$

$$\begin{aligned} \frac{\partial (n_i T_i)}{\partial x} &= \frac{2}{3} (E - E_0) J_i - \frac{5}{3q} \frac{\partial (J_i T_i)}{\partial x} + \\ &+ \frac{2}{3} (T_j n_j C_j(T_j) - T_i n_i C'_j(T_j)), \end{aligned} \quad (3)$$

$$\frac{\partial E}{\partial x} = \frac{4\pi q}{\epsilon} (n_i + n_j - n_0), \quad (4)$$

где индексы  $i, j$  относятся соответственно к нижней и верхней долине или, наоборот, когда речь идет о верхних долинах. Здесь  $n_i, J_i, \mu_i, T_i$  - соответственно концентрация, плотность тока, подвижность и температура электронов в  $i$ -долине,  $E$  - напряженность электрического поля,  $E_0$  - напряженность электрического поля в области пространственного заряда гетероперехода без приложенного внешнего напряжения,  $q$  - заряд электрона,  $k$  - постоянная Больцмана,  $\epsilon$  - диэлектрическая постоянная,  $A_i(T_i)$  и  $A_j(T_j)$  - обратные времена релаксации по концентрации,  $C_i(T_i)$  и  $C'_j(T_j)$  - обратные времена релаксации по энергии [1].

Для нахождения  $E_0$  в гетеропереходе решается уравнение Пуассона отдельно для обогащенной и обедненной областей гетероперехода совместно со следующими уравнениями:

$$\Delta\epsilon_c = \Delta\phi_k + \Delta\phi_a, \quad (5)$$

$$\int_{l_k-d_k(\Delta\phi_k)}^{l_k} (n_i(x) - N_k) dx + \int_{l_k}^{l_k+d_a(\Delta\phi_a)} (n_i(x) - N_a) dx = 0, \quad (6)$$

где  $\Delta\epsilon_c$  - разрыв зоны проводимости,  $l_k$  - длина катода,  $d_k$  и  $d_a$  - длина областей гетероперехода,  $\Delta\phi_k$  и  $\Delta\phi_a$  - изгиб зоны проводимости,  $N_k$  и  $N_a$  - концентрация доноров, соответственно в катоде и активной области.

Для запорного гетерокатода выражения для  $d_k$ ,  $d_a$  и  $n_i(x)$  задаются следующими.

Обогащенная область:

$$d_k(\Delta\phi_k) = r_k \arccos \left\{ \exp \left( -\frac{\Delta\phi_k}{kT_0} \right) \right\}, \quad (7)$$

$$n_i(x) = \frac{N_k}{\cos^2 \left( \frac{x - l_k}{r_k} \right)}, \quad l_k - d_k \leq x \leq l_k, \quad (8)$$

Обедненная область:

$$d_a(\Delta\phi_a) = r_a \sqrt{\frac{\Delta\phi_a}{kT_0}}, \quad (9)$$

$$n_i(x) = N_a \cdot \exp \left( -\frac{(x - l_k)^2}{r_a^2} \right), \quad l_k \leq x \leq l_k + d_a,$$

$$n_i(x) \ll N_a. \quad (10)$$

Здесь  $r_k$  и  $r_a$  дебаевские радиусы экранировки, соответственно для полупроводника в катоде и в активной области -  $r_{k,a} = \sqrt{\frac{\epsilon_{k,a} k T_0}{2\pi N_{k,a} q^2}}$ .

Для антизапорного гетерокатода выражения для  $d_k$ ,  $d_a$  и  $n_i(x)$  будут аналогичны, меняется только последовательность расположения обогащенного и обедненного слоев.

Таким образом, учет гетероперехода в двухтемпературной модели [1] сводится к следующему.

1. Изменение структуры зоны проводимости, характерное для гетероперехода, учитывается только в  $\Gamma$ -долине. Это выражается в учете  $E_0$  в формуле для плотности тока электронов (2) и баланса энергии (3) в  $\Gamma$ -долине в области гетероперехода, т.е. в области  $l_k - d_k \leq x \leq l_k + d_a$ .

2. Параметры полупроводников меняются скачком в точке разрыва зоны проводимости при  $x = l_k$ .

4. Начальное распределение концентрации электронов в  $\Gamma$ -долине в области гетероперехода определялось по формулам (8) и (10). Вне области гетероперехода  $n_i(x) = N_{k,a}(x)$ .

Система уравнений (1)-(4) решалась, как в работе [1], методом встречных прогонок [9].

Рассматривались две различные диодные структуры:  $n:In_xGa_{1-x}As-n:GaAs-n^+:GaAs$  (рис. 1) и  $n:Al_xGa_{1-x}As-n:GaAs-n^+:GaAs$ . В первом случае обедненная область гетероперехода находится в активной области диода ( $n:GaAs$ ) - запорный гетерокатод, во втором обедненная область находится в катодной области - антизапорный гетерокатод.

Разрыв зоны проводимости в гетеропереходе равнялся разности электронного сродаства в полупроводниках. Энергии электронного сродаства были приняты следующими [10]: для  $AlAs$  - 2,62 эВ, для  $GaAs$  - 4,07 эВ, для  $InAs$  - 4,90 эВ. Остальные параметры полупроводниковых материалов были взяты из работ [1] (для  $GaAs$ ), [7,11] (для  $InAs$ ) и [6,10] (для  $AlAs$ ). Для промежуточ-

ных составов тройных соединений параметры находились из линейноапроксимированных диаграмм. Общая длина исследуемого диода - 2 мкм, длина активной области - 1 мкм, концентрация доноров в активной и катодной областях -  $2.5 \cdot 10^{16} \text{ см}^{-3}$ , концентрация доноров в аноде -  $9 \cdot 10^{16} \text{ см}^{-3}$ , как в работах [1, 3-7].

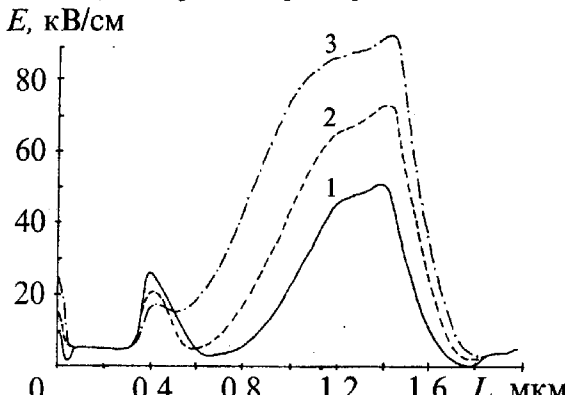


Рис. 1. Распределение электрического поля в диоде с  $In_{0,45}Ga_{0,55}As$ -катодом в момент времени  $T/4$  ( $T$ -период колебания): 1 - 300 K; 2 - 500 K; 3 - 700 K

На диоде напряжение менялось по закону:  $U(t) = U_0 + U_1 \sin(2\pi ft)$ , где  $U_0$  - питающее напряжение (напряжение смещения),  $U_1$  - амплитуда колебания напряжения на диоде,  $f$  - частота колебания.

Все полученные выходные характеристики были оптимизированы по  $U_0$  и  $U_1$  на каждой частоте. Для избежания переходного процесса в диоде все физические явления и выходные характеристики рассматривались для второго периода СВЧ-колебания.

Помимо исследования влияния  $T_0$  на работу диода в динамическом режиме было изучено влияние  $T_0$  на зависимость дрейфовой скорости электронов от электрического поля  $V(E)$  в  $In_xGa_{1-x}As$ ,  $Al_xGa_{1-x}As$  и на электрофизические параметры соответствующих гетеропереходов.

## 2. Диод с запорным гетерокатодом

Исследовались физические процессы в  $n:In_xGa_{1-x}As-n^+:GaAs$ -структуре.

В соединении  $In_xGa_{1-x}As$ , как и в  $GaAs$ , с ростом  $T_0$  уменьшаются максимальная дрейфовая скорость электронов  $V_{max}$  и отношение максимальной скорости к минимальной  $V_{max}/V_{min}$ , увеличиваются пороговое поле  $E_n$  и протяженность участка отрицательной дифференциальной проводимости  $E_{odn}$ . При увеличении доли  $InAs$  в соединении температура, при которой  $V_{max}/V_{min} \rightarrow 1$  или  $E_{odn} \rightarrow 0$ , возрастает.

Изменение температуры оказывает влияние и на распределение электронов в гетеропереходе. С ростом температуры становится меньше энергетический барьер в гетеропереходе и увеличивается его длина. Причем, длина обогащенной области увеличивается, а обедненной уменьшается. Также с ростом температуры становится меньше перепад концентрации электронов в гетеропереходе, т.е. в обогащенной области концентрация падает, а в обедненной растет, уменьшается максимальное поле в гетеропереходе.

В режиме генерации СВЧ-колебаний с ростом температуры кристаллической решетки в исследуемой структуре были обнаружены следующие изменения электрофизическими параметров и процессов.

1. В диоде становится меньше амплитуда колебаний тока, что связано с уменьшением отношения  $V_{max}/V_{min}$  зависимости  $V(E)$ . Такое уменьшение амплитуды колебаний тока также связано со следующими процессами. С ростом  $T_0$  увеличиваются оптимальные напряжения смещения и амплитуда колебаний напряжения вследствие увеличения  $E_n$  и  $E_{odn}$ . Возрастание питающего напряжения приводит к увеличению максимального значения электрического поля в домене, но при этом, как передний, так и задний фронт домена становятся более пологими (рис. 1), т.е. уменьшается градиент неравновесной концентрации электронов в домене. Геометрические размеры домена увеличиваются (рис. 1), и при  $T_0 \sim 800$  K длина домена становится равной длине активной области диода. Конечным результатом описанных выше изменений диода является уменьшение амплитуды колебания тока и эффективности генерации (рис. 2). Для оптимального состава катода -  $In_{0,45}Ga_{0,55}As$  максимальная температура, при которой диод перестает работать -  $\sim 780$  K (рис. 2).

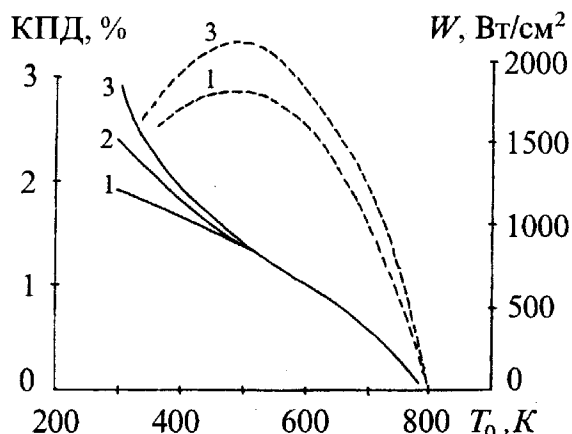


Рис. 2. Зависимость эффективности генерации и потока выходной мощности диодов с  $In_xGa_{1-x}As$ -катодом от температуры: 1 -  $x=0,30$ ; 2 -  $x=0,50$ ; 3 -  $x=0,45$  (непрерывная линия - КПД, штрихпунктирная линия -  $W$ )

2. При  $T_0 \sim 500$  К поток выходной мощности достигает наибольшего значения (рис. 2). Это объясняется тем, что с ростом  $T_0$  увеличивается оптимальная амплитуда колебаний напряжения, но уменьшается амплитуда колебания тока в диоде и ухудшаются фазовые соотношения.

3. Уменьшается влияние гетероперехода на эффективность генерации и поток выходной мощности (рис. 2), что можно видеть из рис. 1 по увеличению длины гетероперехода и уменьшению максимального поля на катоде. В результате область начального разогрева электронов становится длиннее.

4. Уменьшается скорость дрейфа доменов, вследствие уменьшения минимальной дрейфовой скорости электронов. Это видно по изменению оптимальной частоты генерации  $f_0$ , которая уменьшается от  $\sim 110$  ГГц для 300 К до  $\sim 75$  ГГц для 700 К (рис. 3). Частотный диапазон изменения рабочей частоты  $\Delta f$  (на котором КПД больше нуля) меняется незначительно (рис. 3).

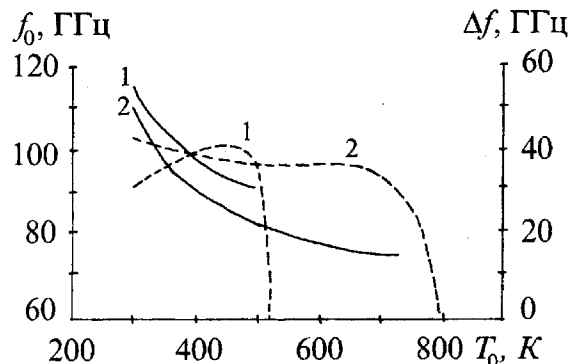


Рис. 3. Зависимость оптимальной частоты генерации (непрерывная линия) и частотного диапазона (штрихпунктирная линия) от температуры: 1 -  $Al_{0,15}Ga_{0,85}As$ -катод; 2 -  $In_{0,45}Ga_{0,55}As$ -катод

### 3. Диод с антizапорным гетерокатодом

Исследовались физические процессы в  $n:Al_xGa_{1-x}As-n:GaAs-n^+:GaAs$ -структуре.

Исследования показали, что с ростом  $T_0$  для любого состава  $Al_xGa_{1-x}As$  происходит уменьшение  $V_{max}$ ,  $V_{min}$ ,  $V_{max}/V_{min}$ , увеличение  $E_n$  и  $E_{odn}$ . Максимальная температура существования ОДП для различных составов соединения составила:  $\sim 950$  К для  $GaAs$ ;  $\sim 750$  К для  $Al_{0,10}Ga_{0,90}As$ ;  $\sim 600$  К для  $Al_{0,20}Ga_{0,80}As$ .

С ростом  $T_0$  времена релаксации электронов уменьшаются, что говорит об увеличении вероятности рассеяния электронов на различных центрах рассеяния.

Возрастание  $T_0$ , как и для запорного гетерокатода, приводит к уменьшению энергетического

барьера и увеличению области пространственного заряда (при этом обедненная область гетероперехода уменьшается).

Возрастание  $T_0$  в режиме генерации приводит к следующему.

1. В гетерокатоде становятся меньше перепад концентрации электронов и абсолютное значение электрического поля (рис. 4), увеличиваются максимальная электронная температура и заселенность электронами боковой долины. Точка начала увеличения заселенности электронами боковой долины в активной области смещается к аноду, т.е. область начального разогрева электронов становится шире.

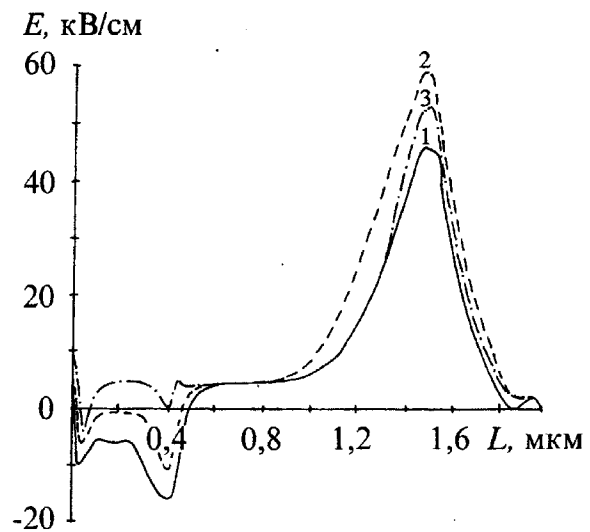


Рис. 4. Распределение электрического поля в диоде с  $Al_{0,15}Ga_{0,85}As$ -катодом в момент времени  $T/4$ : 1 - 300 K; 2 - 400 K; 3 - 500 K

2. Максимальное электрическое поле в заряженном слое возрастает (рис. 4), а электронная температура и заселенность электронами боковой долины становятся меньше.

3. Падает амплитуда колебаний тока в диоде и ухудшаются фазовые соотношения между колебаниями тока и напряжения. Спад амплитуды колебания тока можно объяснить уменьшением отношения  $V_{max}/V_{min}$  на зависимости  $V(E)$  и уменьшением отношения заселенности электронами боковой долины в заряженном слое и вне его. Ухудшение фазовых соотношений, по-видимому, связано с увеличением длины области начального разогрева электронов. В результате эффективность генерации быстро уменьшается без изменения оптимального состава катодного контакта (рис. 5).

4. Как и для случая диода с запорным гетерокатодом оптимальные режимы работы диодов наблюдаются при больших значениях напряжения смещения и амплитуды колебания напряжения. Поэтому при  $T_0=400$  К и  $x=0,15$  выходной по-

ток мощности достигает максимального значения (рис. 5).

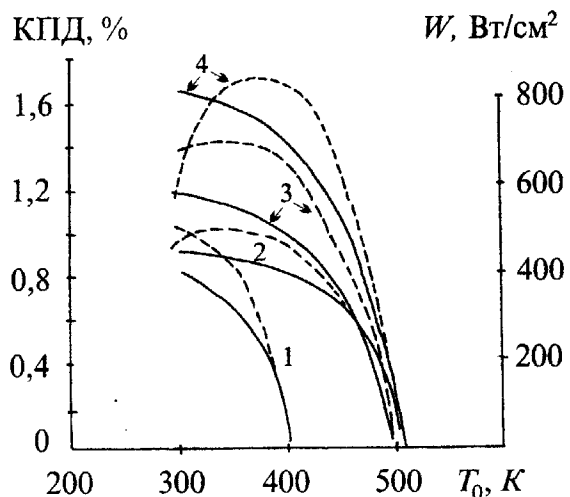


Рис. 5. Зависимость эффективности генерации и потока выходной мощности диодов с  $Al_xGa_{1-x}As$ -катодом от температуры: 1 -  $x=0,05$ ; 2 -  $x=0,25$ ; 3 -  $x=0,10$ ; 4 -  $x=0,15$  (непрерывная линия - КПД, штрихпунктирная линия -  $W$ )

5. Оптимальная частота генерации уменьшается (рис. 3), т.к. уменьшается  $V_{min}$  на зависимости  $V(E)$ . Частотный диапазон изменяется незначительно, он имеет максимальное значение в диапазоне температур 400-500 К (рис. 3).

6. Температура кристаллической решетки, при которой генерация прекращается для различных составов катода, различна. Наибольшая температура  $\sim 500$  К получена при содержании  $AlAs$  в катоде  $\sim 15\%$  (рис. 5).

### Заключение

1. В соединениях  $In_xGa_{1-x}As$  и  $Al_xGa_{1-x}As$  при увеличении  $T_0$  уменьшаются  $V_{max}$ ,  $V_{min}$ ,  $V_{max}/V_{min}$ , времена релаксации электронов и увеличивается  $E_n$ . Максимальные температуры существования отрицательной дифференциальной проводимости в  $Al_xGa_{1-x}As$  с увеличением  $x$  уменьшаются, в  $In_xGa_{1-x}As$  - увеличиваются.

2. При увеличении температуры уменьшается энергетический барьер и увеличивается ширина области пространственного заряда гетероперехода.

3. Увеличение температуры в режиме генерации не приводит к изменению типа неустойчивости тока в диодах. В диоде с  $In_xGa_{1-x}As$ -катодом распространяются дипольные домены, с  $Al_xGa_{1-x}As$  - заряженные слои. Ставятся

меньше амплитуда колебания тока и отношение амплитуды к постоянной составляющей тока в диоде. Уменьшается эффективность генерации диода. Предельные температуры для оптимальных составов катода составили 780 К для  $In_{0,45}Ga_{0,55}As$  и 510 К для  $Al_{0,15}Ga_{0,85}As$ .

4. В связи с тем, что при увеличении температуры увеличивается оптимальная амплитуда колебаний напряжения на диоде, но уменьшается амплитуда колебаний тока, существует температура, при которой поток выходной мощности имеет наибольшее значение  $\sim 500$  К для  $In_{0,45}Ga_{0,55}As$  и  $\sim 400$  К для  $Al_{0,15}Ga_{0,85}As$ .

5. Влияние гетерокатода на работу диода с увеличением температуры уменьшается. В связи с этим область начального разогрева электронов становится длиннее.

6. Рост температуры приводит к уменьшению оптимальной частоты генерации и незначительному изменению частотного диапазона.

Таким образом, полученные результаты показывают, что использование диодов с гетерокатодом перспективно в непрерывном режиме, как для диодов с дипольными доменами, так и с заряженными слоями. При работе диодов сохраняется возможность получения высоких значений эффективности генерации и выходной мощности излучения в широком диапазоне частот.

### Литература

1. Ю.В. Аркуша, А.А. Дрогаченко, Э.Д. Прохоров. РЭ. 1987, 32, №5, с. 1050-1054.
2. А.А. Кальфа, А.С. Тагер. Электронная техника. Серия 1. Электроника СВЧ. Вып. 10, 1982, с. 17-21.
3. Ю.В. Аркуша, А.А. Дрогаченко, Э.Д. Прохоров. РЭ. 1988, 33, №6, с. 1295-1299.
4. Ю.В. Аркуша, А.А. Дрогаченко, Э.Д. Прохоров. РЭ. 1988, 33, №6, с. 1336-1337.
5. Ю.В. Аркуша, Э.Д. Прохоров, И.П. Стороженко. РЭ. 1996, 41, №2, с. 248-252.
6. Ю.В. Аркуша, Э.Д. Прохоров, И.П. Стороженко. В кн. Применение радиоволн мм и субмм диапазонов. Сб. науч. тр. Харьков, ИРЭ НАН Украины, 1994, с. 78-75.
7. Ю.В. Аркуша, Э.Д. Прохоров, И.П. Стороженко. РЭ, 1994, 39, №11, с. 1816-1818.
8. N.R. Couch, H. Sponer, P.H. Beton. IEEE Electron Device Lett.. 1989, 10, No. 7, p. 288-290.
9. А.А. Самарский. Введение в численные методы. Москва, Наука, 1987, 210 с.
10. Физико-химические свойства полупроводниковых веществ. Справочник. Под ред. А.В. Новоселова. Москва, Наука, 1978, 400 с.
11. А.В. Дядченко, Э.Д. Прохоров. РЭ. 1976, 21, №12, с. 2641.

**Influence of Temperature on Energy and Frequency  
Characteristics of mm-Waves Heterocathode Gunn  
Diodes**

**Yu.V. Arkusha, E.D. Prokhorov, I.P. Storozhenko**

The influence of the crystal lattice temperature on the physical processes in the *GaAs* Gunn diodes with 1  $\mu\text{m}$  active region length and different heterocathode

contacts ( $\text{In}_x\text{Ga}_{1-x}\text{As}$  and  $\text{Al}_x\text{Ga}_{1-x}\text{As}$ ) is examined. Energy and frequency characteristics in wide temperature range are obtained. It is shown that diodes with heterocathode can effectively work in mm-wave range in continuos mode. Limit temperatures by which the diode cuts off its operation are found for *GaAs*-diodes with  $\text{In}_{0.45}\text{Ga}_{0.55}\text{As}$ -cathode it is  $\sim 780$  K and  $\text{Al}_{0.15}\text{Ga}_{0.85}\text{As}$ -cathode it is  $\sim 510$  K.